

Th-Zr, Hf

VII - 5771

1929

ZrO₂-ThO₂ (T_{tr})

Ruff O., Ebert F., Woitinek H.,
Z. anorgan. und allgemein. Chem.,

1929, 180, 252-256



Б

еето · φ.к

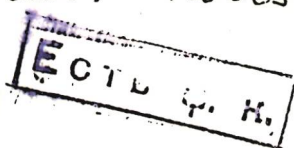
VII 4493

ZrD₂-MnD₂, zge Me = Th, U, Ce, Ti
ZuD₂-M₂D₃, zge M = Sc, V, Cr, Mn, Fe, Al
(kp. cup.)

Stöcker J., Moser M., Collongues R.,
Chimie hautes températ. Paris;
CNRS, 1959, 39-49



Mme



VIII $\text{ThZr}_2\text{H}_{7\pm x}$; $\text{ThTi}_2\text{H}_{6\pm x}$. 1971.

cr. str.

VIII 4503

Van Houten R., Bartram S.

Met. Trans., 1971, 2, n.2, 527-530.

Получение и кристаллографическое описание двух новых типов групповых магнитных нанодисков.

№ 8
Me. (O)

РХ, 1971, 14Б334.

ZrO₂-ThO₂ = XVII - 443 1975

spay glass
quartz.

85.67s Phase relations in the system zirconium oxide-thorium oxide (ZrO₂-ThO₂). Sakurai, T.; Arashi, H. (Res. Inst. Sci. Meas., Tohoku Univ., Sendai, Japan). *Rev. Int. Hautes Temp. Refract.*, 1975, 12(1), 74-7 (Eng). The phase relationships in the system ZrO₂ - ThO₂ were investigated using 70 kW solar furnace. The specimens were fused and heat-treated at the focus of the solar furnace and rapidly cooled by dropping into water. The temp. of the specimen was measured by using an infrared pyrometric method. The structure of the melted portion was detd. by means of x-ray diffraction anal. The phase diagram at high temps. above 2000° was given in the concn. range from 7 to 100 mole % ThO₂.

C.R. 1975, 83 or 10

Th Zr₂H_x

1984

24 Б3064. Термодинамические свойства гидридных фаз Лавеса ThZr₂. Thermodynamic properties of Laves-phase ThZr₂—hydrides. Bartscher W., Haschke J. N. «Int. Conf. Nucl. and Radiochem., Lindsay, Oct. 8—12, 1984. Abstr. Invit. Pap. Discuss. Pap. Posters.» Frankfurt/M., 1984, 53 (англ.)

Методом гетерог. равновесий определены Δ_fH и Δ_fS гидридных фаз Лавеса, образующихся при поглощении H₂ сплавами Th—Zr при 1100 К. Обл. тв. р-ра при отношении $1,3 < H/M < 2,2$ определены из P—T диаграмм. В интервале 1100—1300 К значения Δ_fH (кДж/моль) и Δ_fS (Дж/моль·К) равны для ThZr₂H₄ $-91,2 \pm 3,0$ и $-64,5 \pm 2,4$, для ThZr₂H₆ $-137,5 \pm 3,0$ и $-111,3 \pm 2,4$, соотв. Наиболее термодинамич. стабильными являются сплавы с $H/M = 1,3; 1,45; 1,65$ и $1,9$. Л. А. Резницкий

перевод: СВ-ЛА

X. 1986, 19, N 24

ThZr₂

011-28680 1988

108: 119928x Equilibria and thermodynamic properties of the thorium zirconium (ThZr₂)-hydrogen system. Bartscher, Wilhelm Rebizant, Jean; Haschke, John M. (Eur. Inst. Transuranium Elektronen-Karlsruhe Establ., D-7500 Karlsruhe, Fed. Rep. Ger.). *J. Less-Common Met.* 1988, 136(2), 385-94 (Eng). The ThZr₂-H(D) system was characterized by equil. pressure measurements and x-ray diffraction anal. At temps > 1180 K, the bcc. ThZr₂ alloy is satd. at [H]:[M] = 0.2 ([M] = [Th] + [Zr]). A two-phase region obsd. for 0.2 < [H]:[M] < 0.6 is followed by formation of a cubic Laves-type (*Fd3m*, C11) hydride across the compn. range $0.6 \leq [H]:[N] \leq 2.2$. X-ray diffraction and pressure-temp.-compn. data show that products with [H]:[M] > 1.3 can be cooled without transition, but the formation of a 2-phase mixt. of *Fd3m* hydrides on cooling products with [H]:[M] ratios between 0.6 and 1.3 indicates the presence of a miscibility gap at low temp. in this compn. range. Lattice parameters and integral thermodn. properties are presented for several Laves-type hydride compns. The enthalpy and entropy of hydriding ThZr₂ to form ThZr₂H₆ at 1250 K are -413 ± 25 kJ/mol and -334 ± 20 J/K mol, resp. The phase equil. are discussed and compared with those of TiCr₂-H and Pa-H.

(Diagram)

C.A. 1988, 108, N 14

ThZr₂-H₂(D₂)

ДД.28680

1988

12 Б3041. Равновесия и термодинамические свойства системы ThZr₂—H. Equilibria and thermodynamic properties of the ThZr₂—H system. Bartscher Wilhelm, Rebizant Jean. «J. Less-Common metals», 1988, 136, № 2, 385—394 (англ.)

Термодинамические св-ва систем ThZr₂—H₂(D₂) изучены методом гетерог. равновесий. Сплавы готовились левитацией методом из 99,95% Zr, 99,9% Th, 99,999% H₂ и 99,7% D₂. Состав фаз после достижения равновесия в атмосфере H₂ устанавливался РФА. Гидрирование производилось при т-рах 573—1321 К. Отношение H/M равно 0,2 при $T > 1180$ К. Двухфазная область установлена при $0,2 < H/M < 0,6$. Охлаждение сплавов составов $0,6 < H/M < 1,3$ приводит к распаду фазы Лавеса на две фазы Fd3m. Определены $-\Delta_r H$ (кДж/моль) и $-\Delta_r S$ (Дж/моль К) при 1250 К для р-ции $\text{ThZr}_2 + x/2 \text{ H}_2 = \text{ThZr}_2\text{H}_x$, равные соотв. при $x = 0,6$ $30,8 \pm 4,7$ и $14,9 \pm 3,8$; 1,8 $124,8 \pm 6,4$ и $81,6 \pm 5,1$; 3,0 215 ± 12 и $147,2 \pm 9,3$; 4,0 274 ± 25 и $194 \pm 9,3$; 6,0 413 ± 25 и 334 ± 20 .

Л. А. Резницкий

K_f, ΔH;

X. 1988, 19, N 12

ThZr₂F₁₂

1996

19Б2137. Синтез и диагностика двух новых упорядоченных кристаллических фаз, близких к фторидным стеклам в системе $\text{ThF}_4\text{-ZrF}_4$. II. Кристаллическая структура $\text{ThZr}_2\text{F}_{12}$. Synthesis and characterization of two new ordered crystalline phases close to $\text{ThF}_4\text{-ZrF}_4$ fluoride glasses. II. Crystal structure of $\text{ThZr}_2\text{F}_{12}$ / Taoudi A., Mikou A., Laval J.-P. // Eur. J. Solid State and Inorg. Chem.— 1996.— 33, № 10.— С. 1051—1062.— Англ.

*Кристал-
структур*

$\text{ThZr}_2\text{F}_{12}$ (I) синтезирован отжигом стехиометрической смеси тетрафторидов Th и Zr ($600\text{-}700^\circ\text{C}$, запаянные платиновые трубы). РСТА I проведен на основе порошковых рентгенодифракционных данных ($\text{CuK}\alpha$ -излучение, интервал углов $15\text{-}130^\circ$, шаг по $2\Theta\ 0,04^\circ\text{C}$) полнопрофильным методом по Ритвельду ($R\ 0,039$, $R_p\ 0,064$, $R_{wp}\ 0,090$): моноклинная сингония, $a\ 9,985$, $b\ 10,488$, $c\ 7,965$ Å, $\beta\ 90,73^\circ$, $Z\ 4$ ф. гр. $I/2m$. Координационный полиэдр атомов Th — “трехшапочная” тригональная призма ThF_9 ($\text{Th-F}\ 2,34\text{-}2,41$ Å). Атомы Zr имеют два типа полиэдров: “одношапочная” тригональная призма ZrF_7 [$(\text{Zr-F})_{\text{уср}}\ 2,046$ Å] и “двухшапочная” тригональная призма

X. 1997, № 1

ZrF_8 [$(\text{Zr}-\text{F})_{ycp}$ 2,118 Å]. Структура I построена путем последовательной укладки (перпендикулярно оси Oy) слоев из связанных вершинами полиэдров ZrF_7 и ZrF_8 , чередующихся со слоями ThF_9 . Анализируется взаимосвязь структур I, $\text{PrZr}_2\text{F}_{11}$, β - ZrF_4 и типа ReO_3 . Рассматривается влияние кристаллических характеристик фторцирконатов на образование и стабильность фторидных стекол.

В. А. Долгих

расс
да сп